

Fig. 2.85. Spatial distribution of maximum annual cumulative duration of severe cold waves/cold spells

Distribuția spațială a duratei cumulate maxime anuale a valurilor de frig/perioadelor reci severe

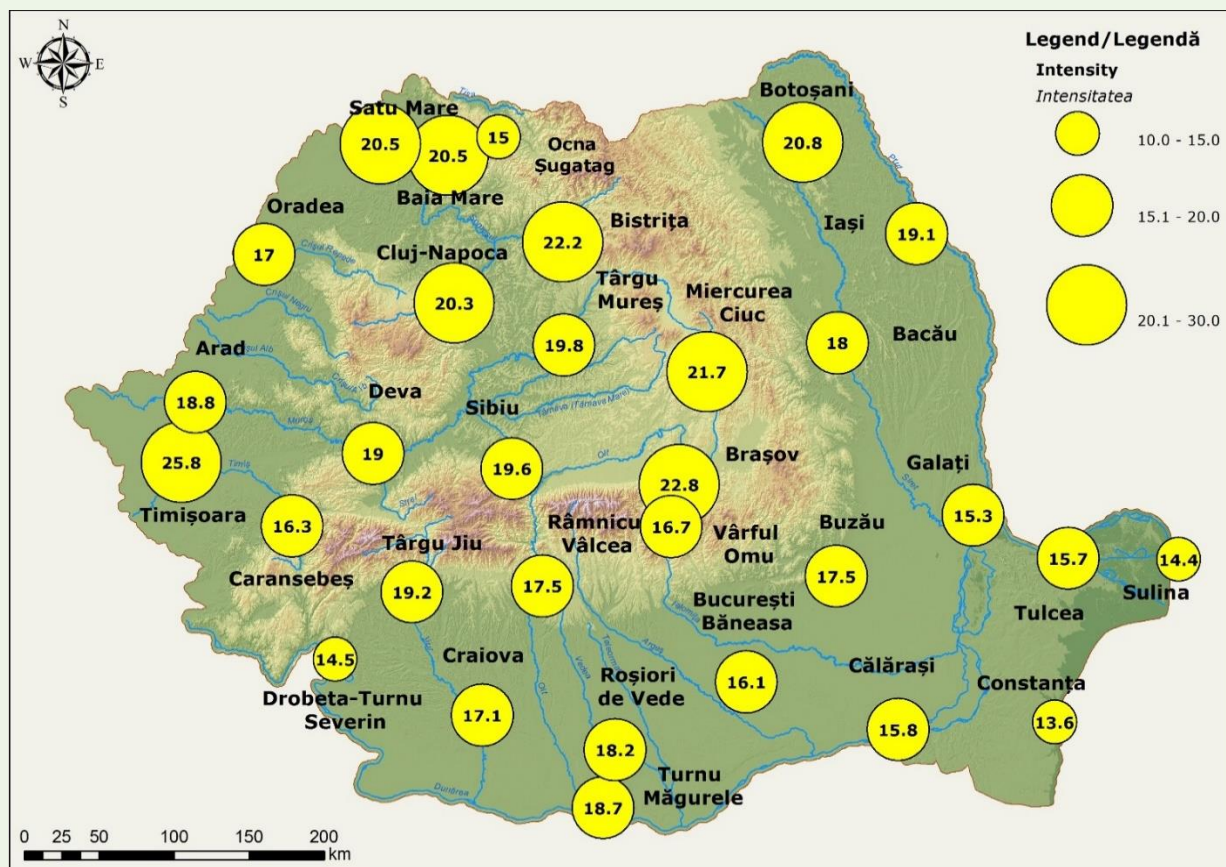


Fig. 2.86. Spatial distribution of maximum annual intensity of severe cold waves/cold spells

Distribuția spațială a intensității maxime anuale a valurilor de frig/perioadelor reci severe

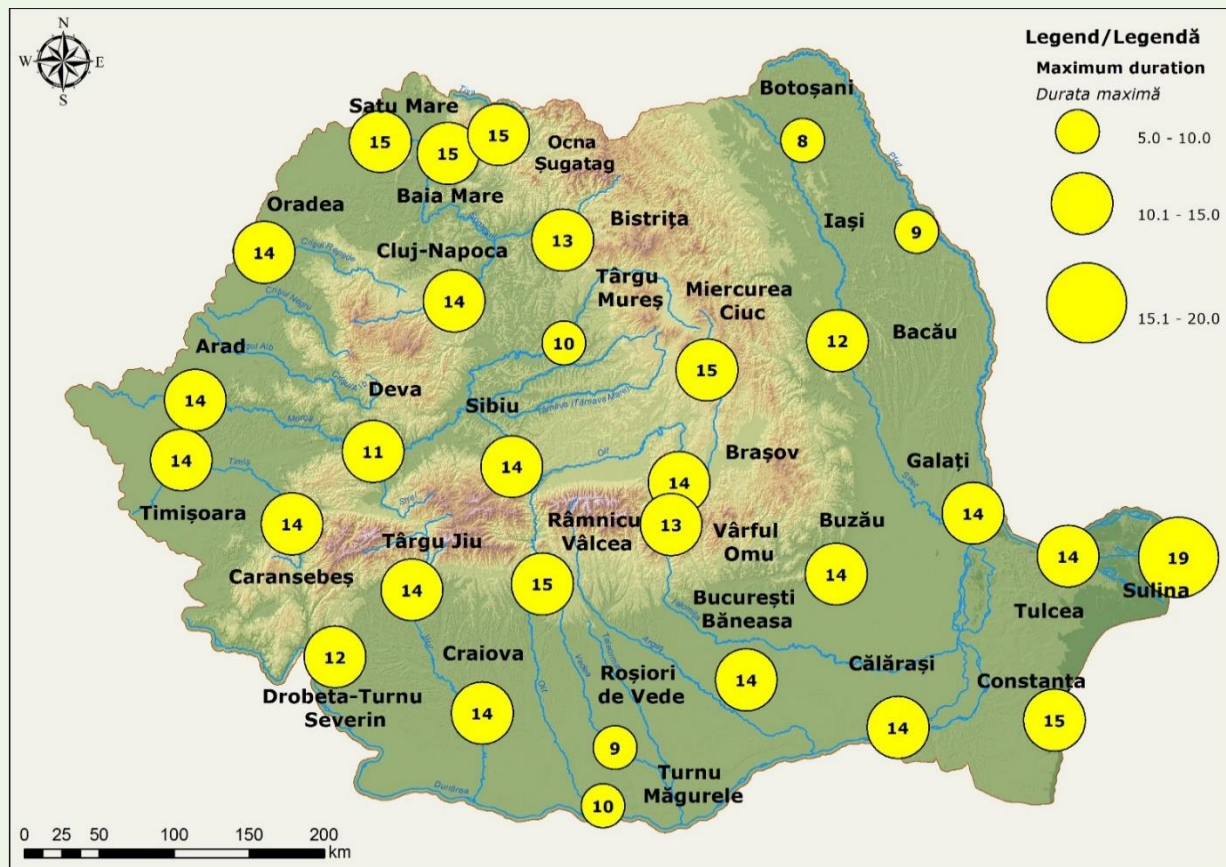


Fig. 2.87. Spatial distribution of maximum annual duration of severe cold waves/cold spells  
Distribuția spațială a duratei maxime anuale a valurilor de frig/perioadelor reci severe

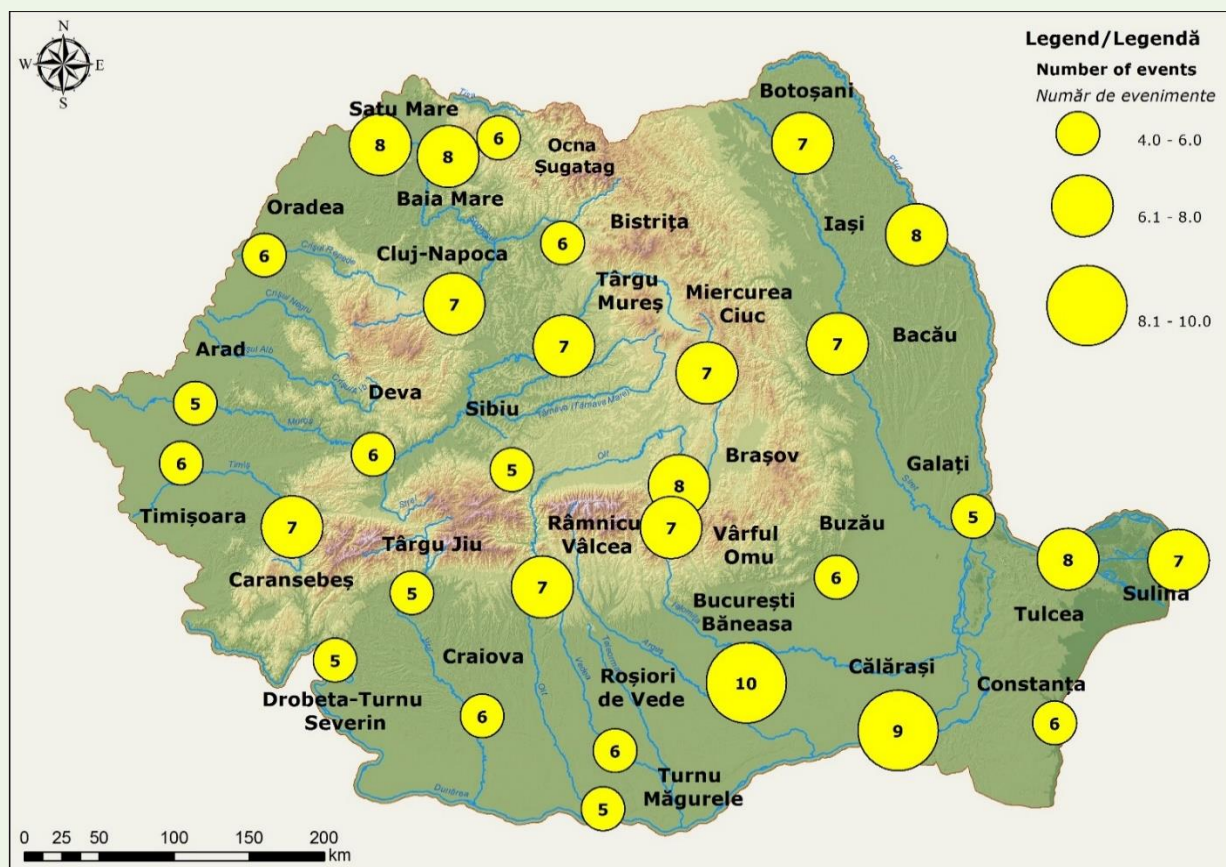


Fig. 2.88. Spatial distribution of maximum annual number of severe cold waves/cold spells  
Distribuția spațială a numărului maxim anual al valurilor de frig/perioadelor reci severe

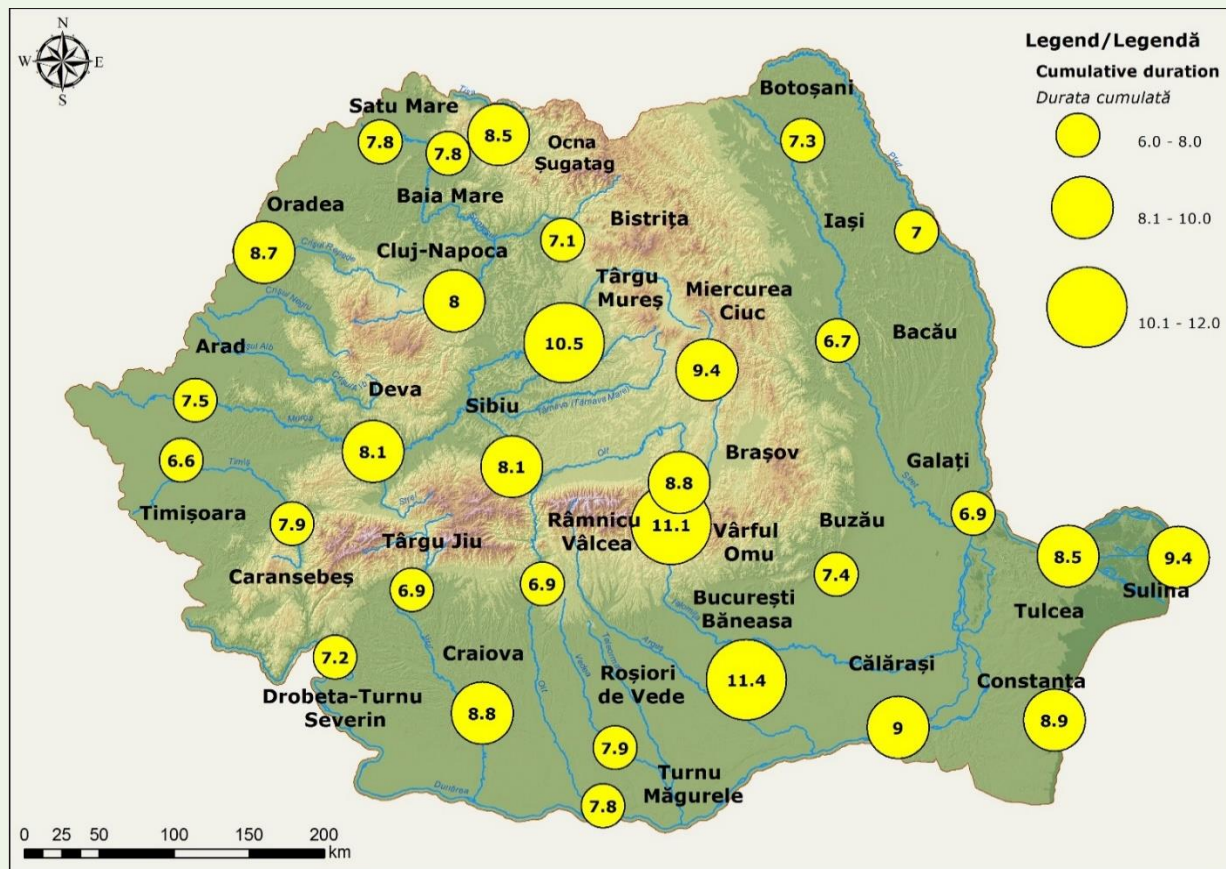


Fig. 2.89. Spatial distribution of mean annual cumulative duration of severe cold waves/cold spells

Distribuția spațială a duratei cumulate medii anuale a valurilor de frig/perioadelor reci severe

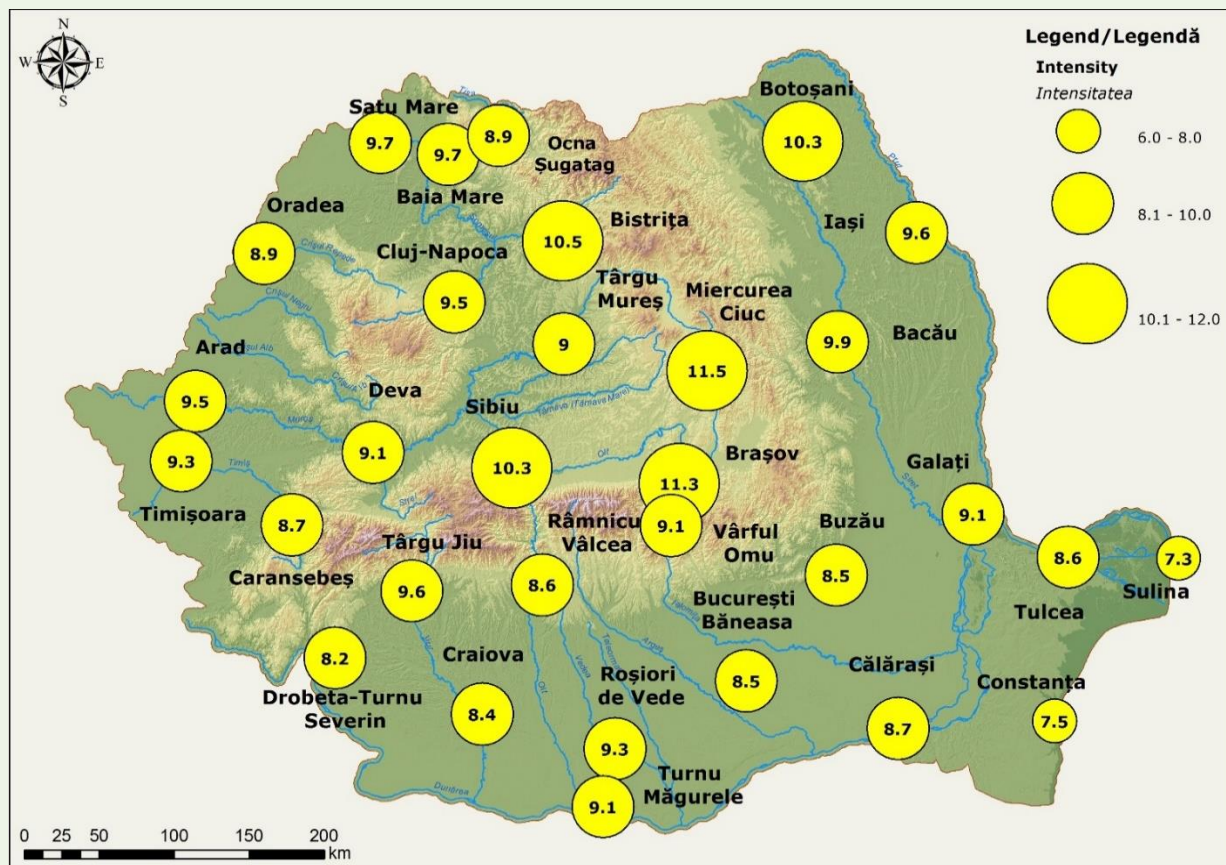


Fig. 2.90. Spatial distribution of mean annual intensity of severe cold waves/cold spells

Distribuția spațială a intensității medii anuale a valurilor de frig/perioadelor reci severe

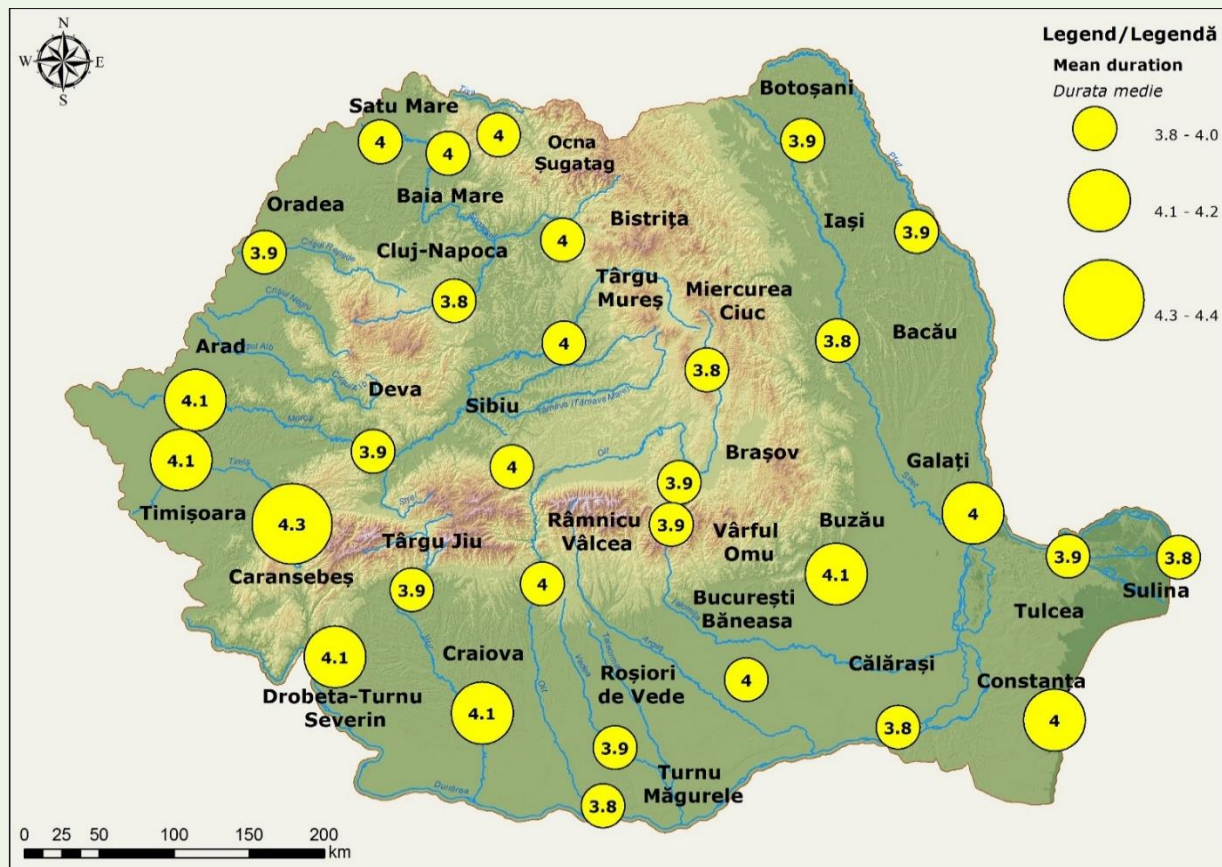


Fig. 2.91. Spatial distribution of mean annual duration of severe cold waves/cold spells  
Distribuția spațială a duratei medii anuale a valurilor de frig/perioadelor reci severe

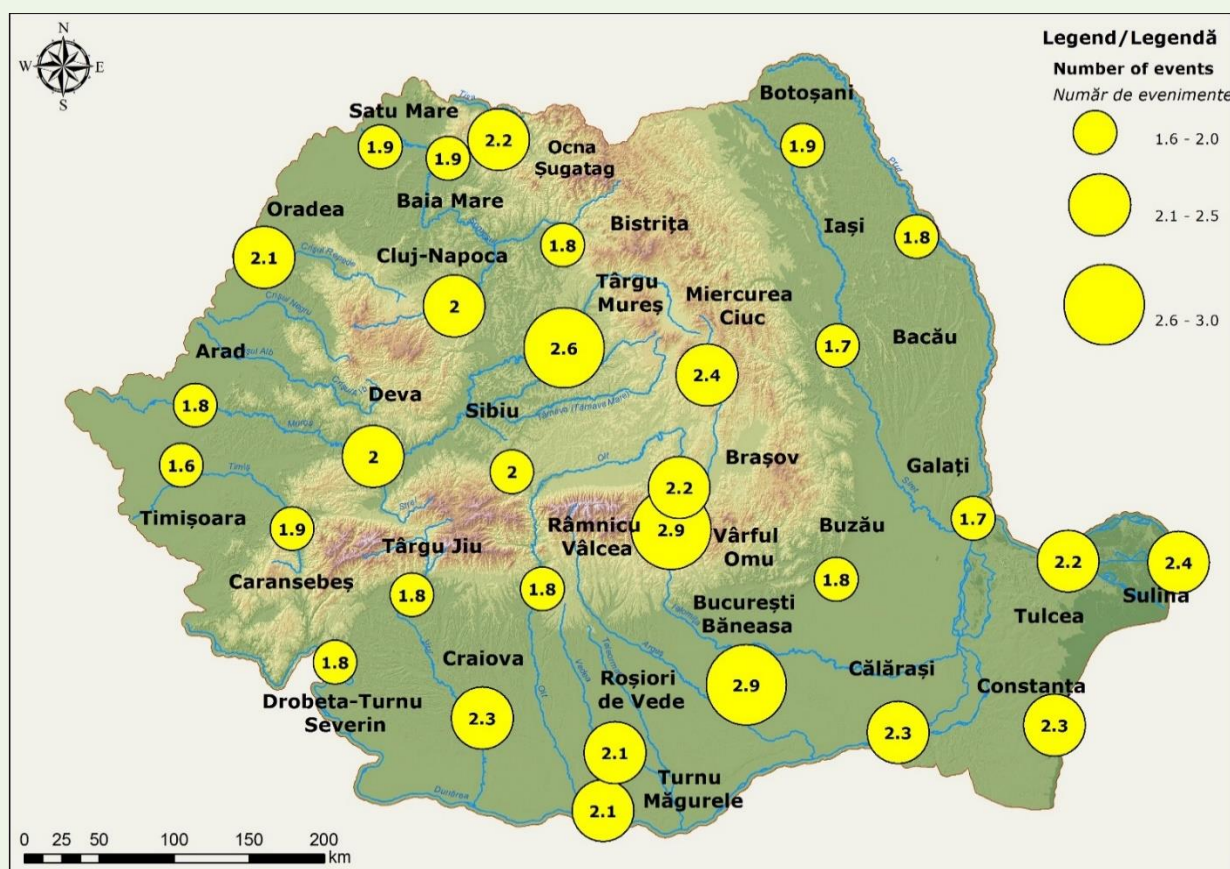


Fig. 2.92. Spatial distribution of mean annual number of severe cold waves/cold spells  
Distribuția spațială a numărului mediu anual al valurilor de frig/perioadelor reci severe